

[Н.Н. Зябрева], [Л.А. Лобанова], В.Н. Плуталов

68/1614979  
3-995 З.Ябрева лев.  
для к всп. рабоч.=  
рабочий год  
лева | 2. Г |

1614979

ВОЗВРАТИТЕ КНИГУ НЕ ПОЗДНЕЕ  
обозначенного здесь срока

1614979.	31.05.		
14.05.05	30850		

МЕТОДИЧЕСКИЕ УКАЗАНИЯ  
к выполнению расчетно-графических работ по МВС  
Часть I

Под редакцией Н.Т. Полярус



Москва  
Издательство МГТУ им. Н.Э. Баумана

2002



Рецензент Б.Н.Кузнецов

399 Зябрева Н.Н., Лобанова Л.А., Плуталов В.Н. Методические указания к выполнению расчетно-графических работ по МС. Ч.1/Под ред. Н.Т.Полярс. - М.: Изд-во МГТУ им. Н.Э.Баумана, 2002. - 48 с., ил.

Методические указания содержат практические методики расчета и выбора посадок системы ИСО, типовую методику выбора посадок подшипников качения, практические примеры расчета и выбора посадок и квалитетов и предназначены для использования при выполнении расчетно-графических работ по дисциплине "Метрология, взаимозаменяемость, стандартизация". В приложении даны необходимые для выполнения домашнего задания таблицы допусков и отклонения из международного стандартта ИСО.

Для студентов 2-го и 3-го курса всех машиностроительных специальностей.

Ил. II. Табл.22. Библиогр. II назв.

ББК 30ц



МГТУ им. Н.Э. Баумана, 2002

## ПРЕДИСЛОВИЕ

Настоящие методические указания предназначены для студентов 2-го и 3-го курсов, изучающих в цикле конструкторской подготовки дисциплину "Метрология, взаимозаменяемость, стандартизация". Они дополняют теоретический курс лекций практическими методиками и примерами, необходимыми при выполнении аудиторных контролируемых самостоятельных работ (КСР) и расчетно-графических работ, выдаваемых студентам в виде внеаудиторных занятий. Теоретический и справочный материал приведен в объеме, достаточном только для выполнения КСР и РГР, рекомендуемых кафедрой МТ-4 по указанной дисциплине, при условии усвоения студентами соответствующих разделов дисциплин по конспектам лекций, учебникам и учебным пособиям [1-3].

Приведенные в МУ примеры могут служить практической методикой при выполнении заданий.

В первом разделе рассмотрена методика определения предельных отклонений, построения полей допусков по международной системе допусков и посадок ИСО (ГОСТ 25346 – 89).

В втором разделе дана методика образования посадок и расчета числовых характеристик посадок в соответствии с (ГОСТ 25347 – 89).

В третьем разделе рассмотрена методология выбора посадок и принципиальные рекомендации по применению типовых посадок ИСО в машиностроении.

Четвертый раздел посвящен методике выбора посадок подшипников качения с указанием требований к точности поверхностей, точности расположения поверхностей и шероховатости поверхности на чертежах для деталей, имеющих сопряжения с подшипниками качения.

Методика расчета размерных и функциональных цепей изложена в части второй методических указаний, которая издается отдельной брошюрой (см. МУ ч.П.).

При выполнении работ можно пользоваться справочными материалами, приведенными в приложении к МУ, а также справочниками и стандартами, указанными в литературе.

### 1. МЕТОДИКА ОПРЕДЕЛЕНИЯ ПРЕДЕЛЬНЫХ ОТКОЛНЕНИЙ И ПОСТРОЕНИЯ ПОЛЕЙ ДОПУСКОВ РАЗМЕРОВ

Все детали машин представляют собой геометрические фигуры, определяемые линейными и угловыми размерами. Ни один из техноло-

гических процессов не обеспечивает постоянства значений одних и тех же размеров в некотором множестве деталей. Действительные размеры будут обладать некоторой дисперсией, оцениваемой диапазоном рассеивания. Диапазон размеров, в котором отклонение размера от расчетного значения не приводит к существенному изменению качества функционирования изделия и не изменяет технологии сборки, считаются допустимым для данной цели и ограничиваются предельными размерами. Все размеры в этом диапазоне, включая предельные, считаются эквивалентными при замене одной детали на другую. Принято считать, что детали такого множества обладают свойством, которое определено как взаимозаменяемость. Следовательно, все размеры, ограниченные предельными, признаютсягодными для функционирования детали в изделии.

Наибольший предельный размер обозначается  $D_{\max}$  - для отверстий,  $d_{\max}$  - для валов.

Наименьший предельный размер обозначается  $D_{\min}$  - для отверстий,  $d_{\min}$  - для валов.

На чертежах предельные размеры указывают отклонениями от номинального размера, например,

$\phi 50^{+0,050}_{-0,025}$ ;  $\phi 50^{-0,025}_{-0,064}$ ;  $\phi 50^{+0,025}_{-0,016}$ ;  $\phi 50 \pm 0,008$ .

Отклонение, определяющее наибольший предельный размер, называют верхним отклонением

$$D_{\max} = D + ES \quad \text{для отверстий},$$

$$d_{\max} = D + es \quad \text{для валов},$$

где  $D$  - номинальный размер, общий для отверстия и вала;  $ES$  - верхнее отклонение отверстия;  $es$  - верхнее отклонение вала.

Отклонение, определяющее наименьший предельный размер, называют нижним отклонением

$$D_{\min} = D + EI,$$

$$d_{\min} = D + ei,$$

где  $EI$ ,  $ei$  - соответственно низшие отклонения отверстия и вала.

Отклонение, равное нулю (верхнее или нижнее), на чертеже не указывается.

Номинальные размеры после расчета выбирают из табл. I приложения. Разность между наибольшим и наименьшим предельными размерами или алгебраическая разность между верхним и нижним отклонениями называется допуском. Допуск обозначается латинской буквой

вой  $T$  (от французского tolerance - допущение, льгота, допуск), и, следовательно, имеет смысл разрешенного, допускаемого диапазона погрешностей размера. Допуск - это абсолютная величина без знака. Допуски размеров отверстий  $TD$  и валов  $Td$  определяют по следующим формулам:

$$TD = D_{\max} - D_{\min} = ES - EI,$$

$$Td = d_{\max} - d_{\min} = es - ei.$$

Соотношение между размерами и отклонениями изображают графически на схемах полей допусков.

На рис. I показаны схемы полей допусков отверстия и вала, где отклонения размеров в мкм отложены от нулевой линии, соответствующей номинальному диаметру, положительные - вверх, отрицательные - вниз. Поле допуска - поле, ограниченное наибольшим и наименьшим предельными размерами и определяемое положением его относительно нулевой линии и допуском.

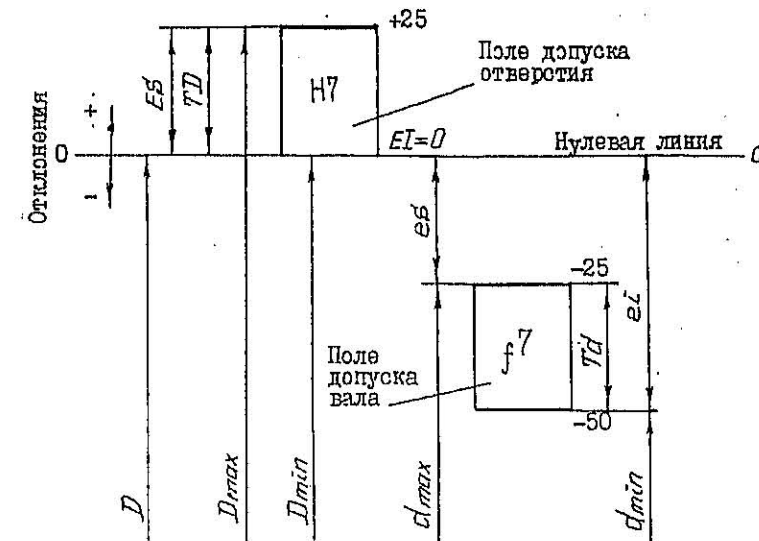


Рис. I

Допуск определяет точность изготовления размера. Диапазон требований к точности размеров деталей чрезвычайно широк.

Квалитеты. Стандарт ИСО устанавливает 20 квалитетов,

определяющих различные уровни (степени) точности, которые при указании стандартного допуска обозначаются цифрами 0I, 0, I, 2, ..., 18, соответствующими порядковым номерам квалитетов. Значения допусков определены по формулам допусков.

Для квалитетов от 2 до 18 в диапазоне размеров до 500 мм установлена следующая формула стандартного допуска:

$$IT = k \cdot i,$$

где  $k$  - коэффициент точности;  $i = 0,45 \sqrt[3]{D} + 0,001 D$  - единица допуска, которая представляет собой меру допуска, различную для разных интервалов диаметров.

Значения единиц допусков рассчитаны из средних геометрических размеров (мм) границ интервала диаметров и приведены в табл. 2 приложения.

Значения коэффициента точности установлены постоянными для каждого квалитета и приведены в табл. 3 приложения.

Стандартные допуски приведены в табл. 4 приложения.

**Основные отклонения.** Положение поля допуска относительно нулевой линии определяется основным отклонением. За основное принято ближайшее к нулевой линии отклонение. Основные отклонения вала обозначаются строчными буквами латинского алфавита ( $a ... z c$ ), основные отклонения отверстия - прописными ( $A ... Z C$ ).

На рис. 2 показана схема расположения и обозначения основных отклонений. Из схемы видно, что основные отклонения для полей допусков, расположенных выше нулевой линии, - верхние;  $ei$  - для валов,  $EI$  - для отверстий. Для полей допусков, расположенных ниже нулевой линии, основные отклонения - нижние;  $es$  - для валов,  $ES$  - для отверстий.

Для полей допусков с основным отклонением, обозначаемым  $js$  - для вала и  $JS$  - для отверстия, установлено среднее отклонение  $e_m = 0$ ,  $E_m = 0$ . Предельные отклонения зависят от стандартного допуска соответствующего квалитета и равны  $\pm IT/2$ .

Числовые значения основных отклонений не зависят от квалитетов и изменяются только в зависимости от номинальных размеров. В стандарте ИСО они рассчитаны по формулам, установленным научными исследованиями, и заданы в виде таблиц. Основные отклонения отверстий определены из основных отклонений вала по следующим правилам.

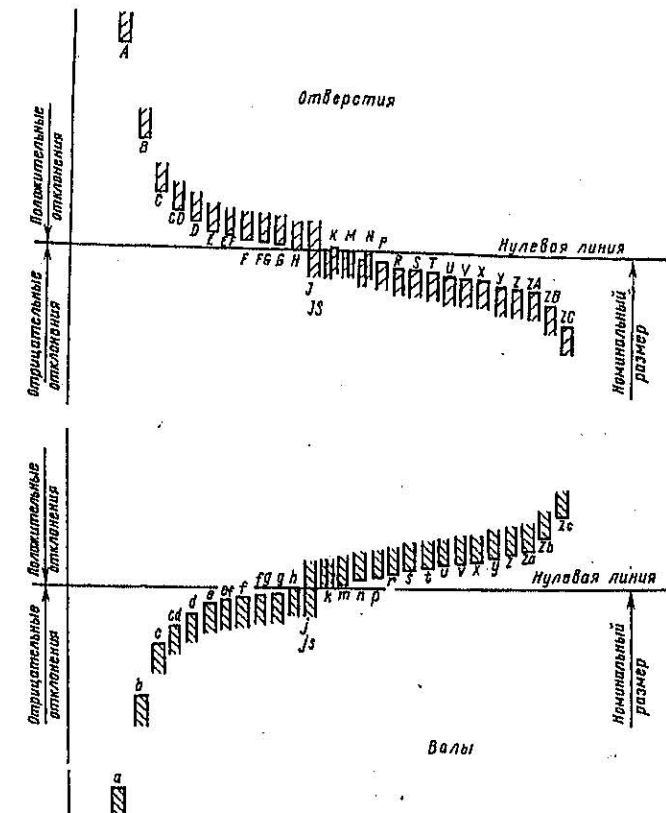


Схема расположения основных отклонений

Рис. 2

1. Нижнее отклонение отверстия численно равно верхнему отклонению вала и имеет обратный знак, т.е.  $EI = -es$ .

В табл. 5 приложения приведены числовые значения основных отклонений валов от  $a$  до  $h$  и отверстий от  $A$  до  $H$ , которые соответствуют верхним отклонениям валов со знаком минус, нижним отклонениям отверстий со знаком плюс.

2. Верхнее отклонение отверстия численно равно нижнему отклонению вала с обратным знаком, т.е.  $ES = -ei$ . Это общее правило не применяется для расчета основных отклонений  $J, K, M, N$  до  $IT8$  включительно,

основных отклонений от  $P$  до  $ZC$  до  $IT7$  включительно, где следует применять специальное правило:

$$ES = -ei + \Delta, \text{ где } \Delta = IT_n - IT_{n-1} \text{ - поправка.}$$

Поля допусков. Поле допуска обозначается указанием буквы (или двух букв) основного отклонения и порядковым номером квалитета. Например,  $H7, h6, js6, f6, F8$ .

Рассмотрим схемы расчета отклонений и построения полей допусков. Второе отклонение поля допуска определяется по основному отклонению и допуску из формулы  $IT = es - ei$  или  $IT = ES - EI$ . Схема расчета и построения поля допуска приведена на рис. 1.

Основные отклонения валов от  $\alpha$  до  $h$  - верхние  $es$ , их значения находим по табл. 5. Так как они расположены ниже нулевой линии, то имеют знак минус.

Например, для размера  $\phi 50h6$  находим  $es = 0$ , допуск шестого квалитета для размера 50 мм находим по табл. 4  $IT6 = 16$ . Обращаем внимание, что размер 50 мм находится в интервале диаметров свыше 30 до 50 мм (а не в интервале свыше 50 до 80 мм!). Нижнее отклонение  $ei = 0 - 16 = -16$  мкм (все примеры иллюстрируют рис. 3).

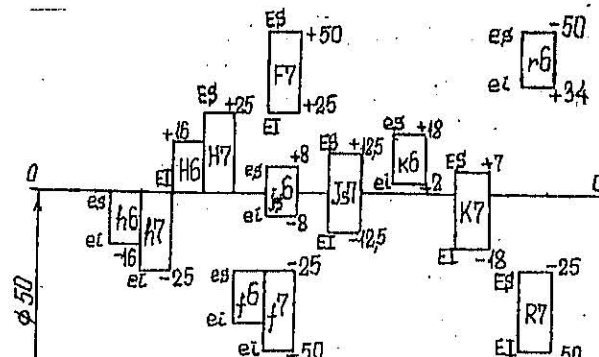


Рис. 3

Для  $50h7$ :  $es = 0$ ,  $IT7 = 25$ ,  $ei = 0 - 25 = -25$  мкм.

Для  $50f6$ :  $es = -25$ ,  $IT6 = 16$ ,  $ei = -25 - 16 = -41$  мкм.

Для  $50f7$ :  $es = -25$ ,  $IT7 = 25$ ,  $ei = -25 - 25 = -50$  мкм.

Основные отклонения валов от  $\alpha$  до  $ZC$  - нижние  $ei$ , расположены выше нулевой линии, имеют знак плюс. Их числовые значения определяются по табл. 6 и 7 приложения.

Например, для размера  $50k6$  по табл. 7 находим  $ei = +2$  мкм,

$$IT6=16; es = 2+16=+18.$$

$$\text{Для } \phi 50r6: ei = +34, IT6 = 16, es = +34+16 = +50 \text{ мкм.}$$

Основные отклонения отверстий от  $A$  до  $H$  - нижние  $EI$ , определяются по табл. 5, расположены выше нулевой линии и имеют знак плюс.

Например, для размера  $\phi 50H6$  найдем  $EI = 0$ ,  $IT6 = 16$ ,  $ES = EI + IT6 = 0 + 16 = +16$  мкм.

$$\text{Для } 50H7: EI = 0, IT7 = 25, ES = 0+25 = +25 \text{ мкм.}$$

$$\text{Для } 50F7: EI = +25, IT7 = 25, ES = 25+25 = +50 \text{ мкм.}$$

Основные отклонения отверстий от  $K$  до  $ZC$  - верхние  $ES$ , как правило, расположены ниже нулевой линии и должны иметь знак (-), однако в случае применения специального правила и введения поправки  $\Delta$  могут принимать положительные или нулевые значения (для  $K$  и  $M$ ).

Например, для размера  $\phi 50K7$  констатируем, что следует применять специальное правило. Мы помним, что для вала  $\phi 50k6$   $ei = +2$  мкм, следовательно, для отверстия  $\phi 50K7$  основное отклонение  $ES = -ei + \Delta = -2 + 9 = +7$  мкм. Поправка  $\Delta = IT7 - IT6 = 25 - 16 = 9$  может быть найдена по табл. 8 приложения. Второе отклонение  $K7$  - нижнее - определим как  $EI = ES - IT7 = +7 - 25 = -18$  мкм.

Для  $\phi 50R7$ :  $ES = -ei + \Delta = -34+9 = -25$  мкм,  $ei$  находим для  $r$ ,  $R$  по табл. 6,  $\Delta$  по табл. 8 для  $IT7$ . Второе отклонение  $EI = ES - IT7 = -25 - 25 = -50$  мкм.

Поля допусков  $\phi 50js6$ ,  $\phi 50JS7$  будут иметь предельные отклонения  $\pm 8$  мкм и  $\pm 12,5$  мкм.

Таким образом могут быть построены поля допусков в любом сочетании основного отклонения и квалитета. Но для практического применения отобрано только ограниченное количество полей допусков, достаточное для нужд производства изделий. ГОСТ 25347 - 89 устанавливает стандартный отбор полей допусков, рекомендуемых к применению (табл. 9, 10 приложения), где широкой рамкой выделены поля допусков предпочтительного применения в первую очередь.

## 2. ПОСАДКИ И РАСЧЕТ ИХ ЧИСЛОВЫХ ХАРАКТЕРИСТИК

В конструкциях машин необходимы как подвижные, так и неподвижные соединения. В подвижных соединениях применяют только посадки с зазором, в неподвижном - все три типа посадок.

Посадкой называют характер соединения двух деталей, определяемый разностью их размеров до сборки.

В конкретном соединении может быть либо зазор (размер отверстия больше размера вала), либо натяг (размер вала больше размера отверстия).

Посадкой с зазором называют такое соединение полей допусков отверстия и вала, когда наименьший предельный размер отверстия больше наибольшего предельного размера вала или равен ему.

Посадкой с натягом называют такое соединение полей допусков отверстия и вала, когда наименьший предельный размер вала больше или равен наибольшему предельному размеру отверстия.

Переходной посадкой называют сочетание перекрывающихся полей допусков отверстия и вала. При таком их расположении возможно получение как зазоров, так и натягов в зависимости от возможных соотношений размеров отверстия и вала в каждом конкретном случае.

Посадки следует применять либо в системе отверстия, либо в системе вала.

Поле допуска отверстия, у которого нижнее отклонение равно нулю, называют основным отверстием (любое поле допуска с основным отклонением  $H$ , т.е.  $H7$ ,  $H8$ ,  $H12$ ).

Посадки, в которых требуемые зазоры или натяги получаются сочетанием основного отверстия с различными полями допусков вала, называются посадками в системе отверстия.

На рис. 4а показаны посадки трех типов в системе отверстия: с зазором  $\phi 50 H7/f6$ , переходной  $\phi 50 H7/k6$ , с натягом  $\phi 50 H7/r6$ . Во всех случаях поле допуска основного отверстия  $H7$  сочетается с различными полями допусков вала  $f6$ ,  $k6$ ,  $r6$ , обеспечивая разный характер соединения.

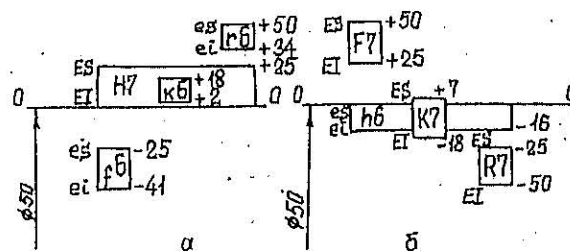


Рис. 4

Теоретически возможно сочетание основного отверстия с любым полем допуска вала, однако ГОСТ 25347 - 89 предусматривает рекомендуемые и предпочтительные посадки (табл. II, I2 приложения).

Посадки могут быть образованы и в системе вала, когда необходимые зазоры или натяги получаются сочетанием основного вала с различными полями допусков отверстия. На рис. 4б показаны посадки в системе вала, эквивалентные посадкам в системе отверстия, показанным на рис. 4а. Это посадки с зазором  $\phi 50 F7/h6$ , переходная  $\phi 50 K7/h6$ , с натягом  $\phi 50 R7/h6$ . В системе вала можно образовать посадку, эквивалентную любой посадке в системе отверстия.

Посадки в разных системах называют эквивалентными, если соблюдаются равенства:

- соответствующих характеристик посадок;
- квалитетов полей допусков отверстия;
- квалитетов полей допусков вала.

Рекомендуемые и предпочтительные посадки в системе вала приведены в табл. I2 приложения.

При выборе посадок исходят из следующих правил:

I. Посадки в системе отверстия более предпочтительны, чем в системе вала.

2. В обоснованных случаях можно применять посадки, не указанные в табл. II, I2. При этом посадка должна, по возможности, быть в системе отверстия или в системе вала, и при разных квалитетах отверстия и вала более точным должен быть вал (не более чем на два квалитета).

Характер соединения (посадку) определяют следующие числовые характеристики:

I. Математическое ожидание посадки, которое принимают равным разности средних отклонений отверстия и валов, т.е. среднему зазору:

$$S_m = E_m - e_m, \quad \text{где} \quad E_m = \frac{ES + EI}{2}, \quad e_m = \frac{es + ei}{2}.$$

Если  $S_m > 0$ , то математическим ожиданием посадки будет зазор, если  $S_m < 0$ , т.е. зазор отрицателен, - натяг  $N_m = -S_m$ .

2. Допуск посадки, равный сумме допусков отверстия и вала:

$$TSN = TD + Td.$$

В вероятностных методах расчета принимают

$$TSN^{(P)} = \sqrt{TD^2 + Td^2}.$$

3. Предельные значения посадки:

$$\begin{aligned} \text{наибольший зазор } S_{\max} &= S_m + TSN/2 = ES - ei, \\ \text{наименьший зазор } S_{\min} &= S_m - TSN/2 = EI - es. \end{aligned}$$

Если  $\begin{cases} S_{\max} > 0 \\ S_{\min} \geq 0 \end{cases}$  - посадка с зазором.

Если  $\begin{cases} S_{\max} > 0 \\ S_{\min} < 0 \end{cases}$  - переходная посадка.

Если  $\begin{cases} S_{\min} < 0 \\ S_{\max} < 0 \end{cases}$  - посадка с натягом, в которой:

$$\begin{aligned} \text{наибольший натяг } N_{\max} &= -S_{\min} = -(EI - es) = es - EI, \\ \text{наименьший натяг } N_{\min} &= -S_{\max} = -(ES - ei) = ei - ES. \end{aligned}$$

Предельные значения посадки с заданной доверительной вероятностью  $P = 99,73\%$ :

$$S_{\max} = S_m + TSN^{(P)}/2,$$

$$S_{\min} = S_m - TSN^{(P)}/2,$$

$$N_{\max} = N_m + TSN^{(P)}/2,$$

$$N_{\min} = N_m - TSN^{(P)}/2.$$

Ниже приведены расчеты числовых характеристик для посадок, показанных на рис. 4а.

Для посадки с зазором  $\phi 50H7/f6$ :

$$\begin{aligned} \text{средний зазор } S_m &= E_m - e_m = +12,5 - (-38) = 45,5 \text{ мкм}, \\ \text{допуск зазора } TS &= TD + Td = 25 + 16 = 41 \text{ мкм}, \\ \text{наибольший зазор } S_{\max} &= 45,5 + 41/2 = 66 \text{ мкм}, \\ \text{наименьший зазор } S_{\min} &= 45,5 - 41/2 = 25 \text{ мкм, или} \end{aligned}$$

$$\begin{aligned} S_{\max} &= ES - ei = 25 - (-41) = 66 \text{ мкм,} \\ S_{\min} &= EI - es = 0 - (-25) = 25 \text{ мкм.} \end{aligned}$$

При вероятностных расчетах

$$TS^{(P)} = \sqrt{25^2 + 16^2} = 30 \text{ мкм};$$

$$\begin{aligned} S_{\max} &= 45,5 + 30/2 = 60,5 \text{ мкм,} \\ S_{\min} &= 45,5 - 30/2 = 30,5 \text{ мкм.} \end{aligned}$$

Предельные зазоры  $S_{\max} > 60,5$  мкм и  $S_{\min} < 30,5$  мкм маловероятны (их вероятность для нормального закона распределения оценивается 0,13% каждая).

Аналогично рассмотрим характеристики посадки с натягом  $\phi 50H7/r6$ :

$$S_m = E_m + e_m = 12,5 - 42 = -29,5 \text{ мкм;}$$

$$N_m = 29,5 \text{ мкм} = 42 - 12,5 = 29,5 \text{ мкм}$$

$$TSN = 25 + 16 = 41 \text{ мкм;}$$

$$S_{\max} = -29,5 + 41/2 = -9 \text{ мкм} \Rightarrow N_{\min} = 9 \text{ мкм,}$$

$$S_{\min} = -29,5 - 41/2 = -50 \text{ мкм} \Rightarrow N_{\max} = 50 \text{ мкм}$$

или

$$N_{\max} = es - EI = 50 - 0 = 50 \text{ мкм,}$$

$$N_{\min} = ei - ES = 34 - 25 = 9 \text{ мкм.}$$

При вероятностных расчетах

$$TSN^{(P)} = \sqrt{25^2 + 16^2} = 30 \text{ мкм;}$$

$$S_{\max}^{(P)} = S_m + TSN^{(P)}/2 = -29,5 + 30/2 = -14,5 \text{ мкм; } N_{\min}^{(P)} = 14,5,$$

$$S_{\min}^{(P)} = S_m - TSN^{(P)}/2 = -29,5 - 30/2 = -44,5 \text{ мкм; } N_{\max}^{(P)} = 44,5$$

или

$$N_{\max}^{(P)} = N_m + TSN^{(P)}/2 = 29,5 + 15 = 44,5 \text{ мкм,}$$

$$N_{\min}^{(P)} = N_m - TSN^{(P)}/2 = 29,5 - 15 = 14,5 \text{ мкм.}$$

Для переходной посадки  $\phi 50H7/k6$ :

$$\text{средний зазор } S_m = 12,5 - 10 = +2,5 \text{ мкм,}$$

$$\text{допуск посадки } TS = TD + Td = 25 + 16 = 41 \text{ мкм,}$$

$$\text{наибольший зазор } S_{\max} = 2,5 + 41/2 = 23 \text{ мкм,}$$

$$\text{наименьший зазор } S_{\min} = 2,5 - 41/2 = -18 \text{ мкм,}$$

т.е.  $S_{\min} < 0$ , значит, в случае совпадения отклонений  $EI$  и  $es$  будет натяг. Следовательно, посадка является переходной.

Вероятностный расчет дает

$$TSN^{(P)} = \sqrt{25^2 + 16^2} = 30 \text{ мкм;}$$

$$S_{\max}^{(p)} = 2,5 + 30/2 = 17,5 \text{ мкм},$$

$$S_{\min}^{(p)} = 2,5 - 30/2 = -12,5 \text{ мкм, т.е. } N_{\max}^{(p)} = 12,5 \text{ мкм.}$$

В переходных посадках имеет значение соотношение вероятностей зазоров и натягов в рассматриваемом соединении при сборке.

На рис. 5 показано соотношение предельных значений зазоров и натягов, а также их вероятностей.

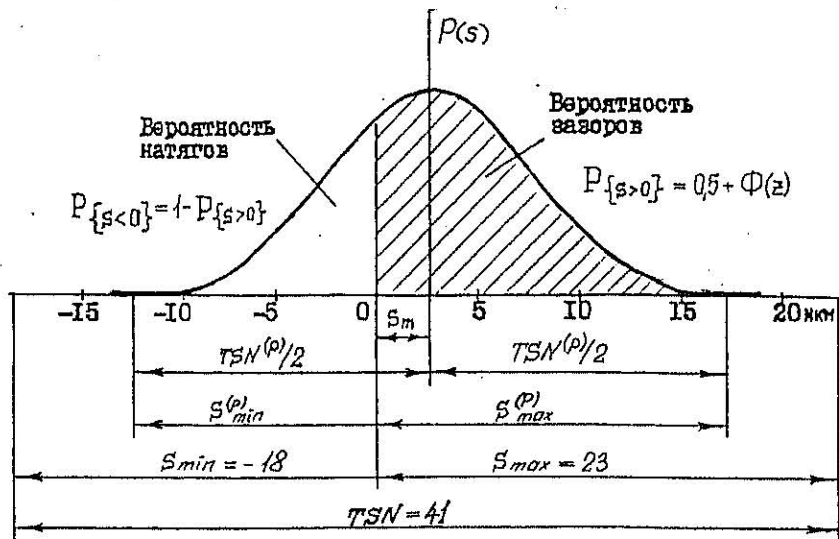


Рис. 5

Средний зазор  $S_m = 2,5$  мкм является математическим ожиданием посадки, относительно которой кривая распределения плотности вероятностей симметрична.

Для определения вероятности зазоров необходимо определить вероятность значений зазоров в пределах от нуля до  $S_m$ , которое определяется по интегралу Лапласа (табл. I3 приложения) как функция от  $z$ :

$$z = S_m / (TSN^{(p)} / 6) = 6 \cdot S_m / TSN^{(p)}.$$

Для посадки  $H7/k6$   $z = 6 \cdot 2,5 / 30 = 0,5$ ,  $\Phi(z=0,5) = 0,1915$ . Так как вероятность зазоров выше 2,5 мкм составляет 0,5, т.е. 50 %, вероятность зазоров  $S > 0$  составит

$$P\{S > 0\} = 0,5 + \Phi(z) = 0,5 + 0,19 = 0,69;$$

т.е. 69 %.

14

Дополнительная вероятность  $1 - P = 0,31$ , т.е. 31 % будет вероятностью натягов.

Для посадок с более вероятными натягами, например  $H7/m6$ ,  $S_m < 0$ , вероятность зазора будет

$$P\{S > 0\} = 0,5 - \Phi(z).$$

### 3. РЕКОМЕНДАЦИИ ПО ПРИМЕНЕНИЮ ПОСАДОК ИСО

Принципиальные основы и методы расчета и выбора посадок для подвижных и неподвижных соединений рассмотрены в работе [4].

При выборе посадок в подвижных соединениях необходимо обеспечить надежность жидкостного трения при заданных условиях работы: угловой скорости вращения  $\omega$ , динамической вязкости смазочной жидкости  $\mu$ , среднего давления на опору  $p$  и диапазона рабочих температур. Относительный зазор  $\Psi = S/D$  является функцией параметра режима  $\Lambda = \mu \omega / p$ :

$$\Psi_{\text{opt}} = K \sqrt{\Lambda C_R},$$

откуда следует, что с увеличением скорости вращения средний зазор выбираемой посадки должен увеличиваться.

Выполняют следующие этапы расчета:

определяют наибольший и наименьший функциональные зазоры  $S_{\max}^{(p)}$  и  $S_{\min}^{(p)}$ , обеспечивающие режим жидкостного трения; выбирают стандартную посадку  $H7/g7$ ,  $H7/f7$ ,  $H7/e7$ ,  $H8/d8$  и т.д., для которой  $S_m \approx S_{\text{opt}} = \Psi_{\text{opt}} D$ .

Предельные зазоры должны удовлетворять требованиям

$$S_{\min} > S_{\min_f}; \quad S_{\max} < S_{\max_f} - \Delta S_{\text{изн}},$$

где  $\Delta S_{\text{изн}}$  - запас на износ размеров вала и подшипника.

Посадки с нулевым гарантированным зазором типа  $H7/h6$ ,  $H8/h7$ , обеспечивающие высокую точность и плотность, применяют только при малых скоростях перемещения.

Выбор посадок в неподвижных соединениях зависит от способа обеспечения неподвижности, точности центрирования соединяемых деталей, частоты разборок при эксплуатации и других условий.

В неподвижных соединениях без дополнительных средств крепле-

ния применяют посадки с натягом.

При сборке деталей, у которых размер вала больше размера отверстия, необходимо осуществить натяжение материала (например, запрессовать вал в отверстие).

Возникающее после такой сборки вследствие упругих деформаций напряженное состояние создает давление  $P$ , которое вследствие сил трения обеспечивает неподвижность соединения:

$$F_p = p \pi D l_f \quad \text{или} \quad M_{tp} = 0,5 \pi D^2 l_f.$$

Порядок расчета натягов следующий:

определяют необходимое давление  $p$ ;

определяют наименьший функциональный натяг  $N_{min F}$ , при котором обеспечивается необходимое давление, поправку на смятие шероховатости поверхностей отверстия и вала  $\Delta_w = 4,8 (Ra_D + Ra_d)$ ;

определяют поправку на температурные деформации, ослабляющие натяг при рабочих температурах  $\Delta_T$ ;

определяют наибольший функциональный натяг  $N_{max F}$ , при котором обеспечивается прочность деталей с достаточным запасом для передачи рабочих нагрузок.

Выбирают стандартную посадку предпочтительно в системе отверстия, например  $H7/r6$ ,  $H7/s6$ ,  $H7/t6$ ,  $H7/u6$ ,  $H8/u8$  и др., для которой соблюдаются условия

$$N_{min} \geq N_{min F} + \Delta_w + \Delta_T,$$

$$N_{max} \leq N_{max F}.$$

В неподвижных разъемных соединениях применяют, как правило, переходные посадки. Конкретные посадки устанавливают по методу precedентов, т.е. на основании примеров применения посадок в соединениях аналогичного назначения. При этом учитывают следующие соображения:

в соединениях, подвергаемых частным разборкам, назначают посадки типа  $H7/js6$ ,  $H7/k6$ , имеющие большую вероятность зазоров, чем натягов;

экцентризитет, равный половине наибольшего зазора, должен быть меньше допускаемых отклонений от соосности (допускаемый дисбаланс).

При невысоких требованиях к соосности возможно применение посадок с зазором типа  $H7/h6$ ,  $H8/h7$ ,  $H8/js7$ .

При редких разборках сборочных соединений применяют переход-

ные посадки с более вероятными натягами типа  $H7/t6$ ,  $H7/p6$  или посадки с натягом  $H7/p6$ ,  $H7/r6$ ,  $H6/p5$ . В этом случае при  $N_{max}$  не должно быть затруднений при сборке (разборке) соединения или деформаций деталей, ухудшающих функционирование изделия.

В разъемных соединениях невысокой точности назначают посадки с большим зазором, обеспечивающим легкость сборки, выбирая поля допусков предпочтительного применения. Примером таких посадок являются посадки крышек подшипников, распорных втулок и др.

#### 4. ПОСАДКИ ПОДШИПНИКОВ КАЧЕНИЯ И МЕТОДИКА ИХ ВЫБОРА

Подшипники качения отличаются различными требованиями к точности их характеристик. Важнейшими из них являются: точность присоединительных размеров, отклонения формы, радиальное и торцевое биение колец и дорожек качения, волнистость и шероховатость дорожек и тел качения, точность формы и разноразмерность тел качения. Международный стандарт устанавливает пять классов точности подшипников качения, обозначаемых в порядке повышения точности: 0, 6, 5, 4, 2 (ГОСТ 520 - 81).

Класс точности указывают перед условным обозначением подшипника через дефис (например, 6-308, 5-36210). Нулевой класс точности распространяется на все типы подшипников и в обозначении на чертежах не указывается (например, 308).

Посадки подшипников качения на вал и в корпус установлены в разных системах: на вал - в системе отверстия, в корпус - в системе вала. Таким образом поле допуска размера  $D$  внутреннего кольца является основным отверстием, которое обозначается указанием прописной буквы  $L$  (немецк. Lager) и класса, например,  $L0$ ,  $L6$ ,  $L5$ .

В отличие от основного отверстия в ИСО, где применяются поля допусков  $H6$ ,  $H7$ ,  $H8$ , для которых  $ET = 0$ , поля допусков посадочного диаметра внутреннего кольца имеют  $ES = 0$ , т.е. наибольший предельный размер внутреннего кольца равен номинальному размеру.

Поле допуска посадочного размера  $D$  наружного кольца является основным валом и обозначается указанием строчной буквы  $l$  и класса подшипника, например,  $l0$ ,  $l6$ ,  $l5$ ,  $l4$ . Допуски посадочных размеров колец подшипников зависят от класса и типа подшипника, они отличаются от стандартных допусков  $IT$  системы ИСО и приведены в табл. I4 приложения в соответствии с ГОСТ 520 - 81.

Различные посадки, необходимые для разных условий работы под-



## Методика выбора посадок подшипников качения

Качество работы подшипника в значительной степени зависит от характера соединения колец подшипника с валом и корпусом. Необходимо, чтобы после посадки подшипника рабочий зазор был минимальным для лучшего распределения радиальной силы по телам качения, но при этом всегда оставался больше нуля. Начальный зазор - радиальный зазор, с которым подшипник качения выпускается заводом - уменьшается при посадке колец подшипника на вал и в корпус.

Сборка подшипника с натягом по обоим кольцам будет вызывать технологические трудности. Поэтому натяг осуществляют только в посадке циркуляционно нагруженного кольца. Это исключает увеличение трения от перекатывания посадочных поверхностей, возникающего при наличии зазора.

Различают три вида нагружения подшипников: местное, циркуляционное и колебательное.

При местном нагружении кольца радиальная сила воспринимается ограниченным участком дорожки качения, который не изменяется при вращении.

При циркуляционном нагружении радиальная сила воспринимается при вращении последовательно всей дорожкой качения.

Колебательное нагружение является комбинацией двух первых видов.

В случае местного нагружения выбор необходимого поля допуска посадки делают по табл. 15 приложения в зависимости от размера, конструкции корпуса (разъемный, неразъемный), частоты вращения, уровня перегрузок и класса точности подшипника.

При циркуляционном нагружении выбирают посадку с натягом, значение которого рассчитывают из условия таких деформаций колец, при которых посадочный зазор остается положительным. В упрощенном виде этот расчет сводится к вычислению интенсивности нагрузления  $P_R$ :

$$P_R = \frac{F_r}{B} K_1 K_2 K_3 ,$$

где  $F_r$  - расчетная радиальная сила, действующая на опору, Н;  $B$  - ширина подшипника, мм;  $K_1$  - коэффициент, учитывающий динамические нагрузки;  $K_2$  - коэффициент, учитывающий ослабление посадок при полом вале или тонкостенном корпусе;  $K_3$  - коэффициент, учитывающий влияние осевых сил в случаях применения двухрядных конических

подшипников, получают комбинированием основных полей допусков колец с полями допусков ИСО, по которым выполняют размеры корпуса и вала. Поля допусков ИСО, рекомендованные для посадок подшипников на вал и в корпус, и схемы их расположения относительно номинальных размеров  $D$  и  $d$  колец подшипника показаны на схеме рис. 6.

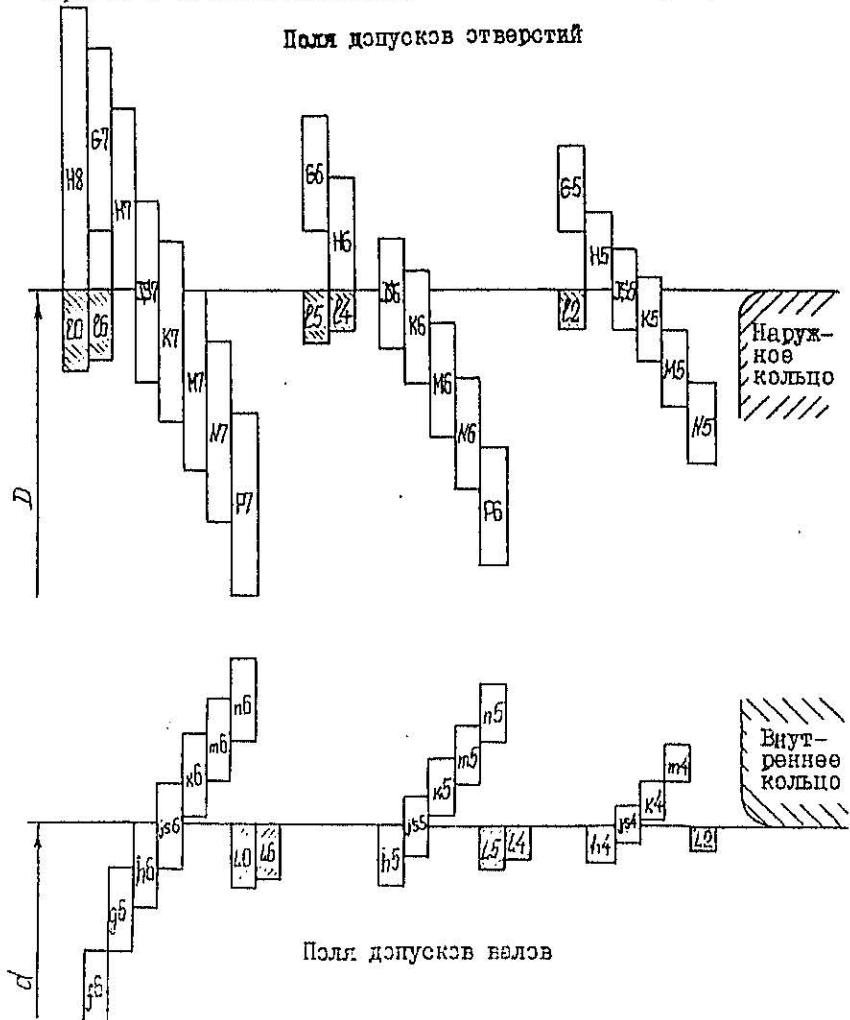


Рис. 6

роликовых подшипников и сдвоенных шарикоподшипников. Осевая сила вызывает перераспределение радиальных сил по рядам тел качения. Значения  $K_3$  зависят от параметра  $(F_a/F_r) \operatorname{ctg} \alpha$  ( $F_a$  - осевая сила, Н;  $\alpha$  - угол контакта, указанный в стандарте).

Значения коэффициентов  $K_1$ ,  $K_2$ ,  $K_3$  находят из таблиц справочников [4,5] или из табл. 16, 17, 18 приложения.

Интенсивность нагружения имеет размерность Н/мм и представляет собой распределенную по ширине подшипника радиальную силу.

Необходимое поле допуска для посадки подшипника находят из табл. 19 приложения по значениям  $P_R$  и диаметра с учетом класса точности подшипника.

В посадках подшипников классов 0 и 6 применяют поля допусков 7-го квалитета для отверстий корпуса и 6-го квалитета для валов. Посадки подшипников классов 5 и 4 осуществляют точнее на один квалитет, чем классов 0 и 6, т.е. применяют поля допусков 6-го квалитета для посадок в корпус и 5-го для посадок на вал.

#### Примеры выбора посадок для типовых соединений

Первая расчетно-графическая работа предназначена для практического освоения методик выбора посадок на примере пяти соединений редуктора, которые являются типовыми для самых различных машин (рис. 7).

Исходные данные: подшипник радиальный однорядный 308, 0 класса точности, вращается вал, радиальная сила приложена к валу, ее реакция в подшипнике равна  $F_r = 4200$  Н, осевая сила незначительна, нагрузка ударная: перегрузка до 300 %. Вал не имеет уступа, полый, с диаметром отверстия  $d = 20$  мм. Внутреннее кольцо удерживается от осевых смещений втулкой, наружное кольцо - выступом крышки подшипника, входящим в корпус. Корпус неразъемный, крышка глухая, т.е. без отверстия для выхода вала.

Выбрать посадки подшипника в корпус и на вал, распорной втулки с валом, крышки подшипника с корпусом.

Решение. Для подшипника 0-308 находим посадочные размеры по ГОСТ 8338 - 75: диаметр наружного кольца  $D = 90$  мм, диаметр внутреннего кольца  $d = 40$  мм, ширину колец подшипника  $B = 23$  мм. По табл. 14 приложения (или по ГОСТ 520 - 71) находим отклонения посадочных размеров:  $D = 90_{-0,015}$ ,  $d = 40_{-0,012}$ .

Определяем вид нагружения колец подшипника: так как радиальная сила, построенная по направлениям, приложена к валу, который вращается, то наружное кольцо имеет чистое нагружение, а внутреннее - циркуляционное.

Выбираем посадки для заданных соединений.

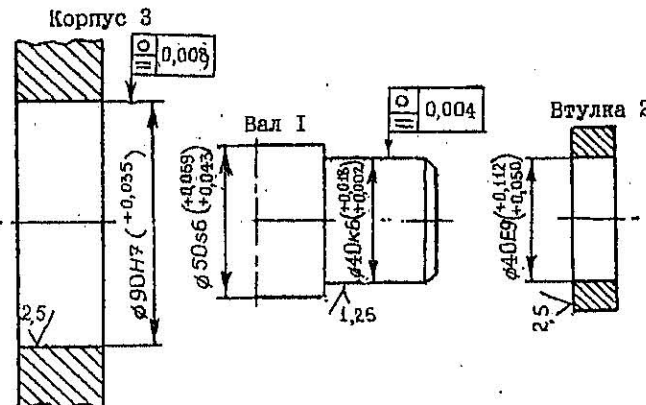
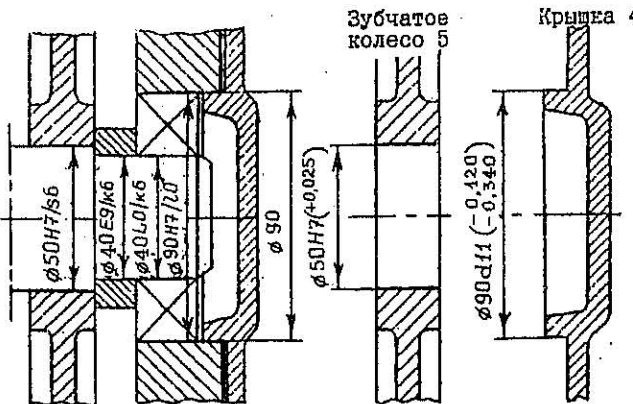


Рис. 7

1. Постановка наружного кольца подшипника в корпус. По табл. 15 для местнонагруженных колец для  $D = 90$  мм неразъемного корпуса, принимая во внимание перегрузку 300%, находим поле допуска  $H7$  для классов 0 и 6. (Для классов 5 и 4 было бы  $H6$ .)

Строим схему полей допусков посадки  $\phi 90H7/JS6$  (рис. 8в).

2. Постановка внутреннего кольца подшипника на вал. Нагружение циркуляционное. Для расчета интенсивности нагружения находим коэффициенты  $k_1$ ,  $k_2$ ,  $k_3$ : для перегрузок до 300% по табл. 16 находим  $k_1 = 1,8$ ; по табл. 17 для  $d_1/d = 20/40 = 0,5$  и  $D/d = 90/40 = 2,25$

$= 2,25$  находим  $k_2 = 1,6$ ; по табл. 18 находим  $k_3 = 1$ , так как подшипник однорядный несдвоенный и, кроме того, осевая сила равна нулю.

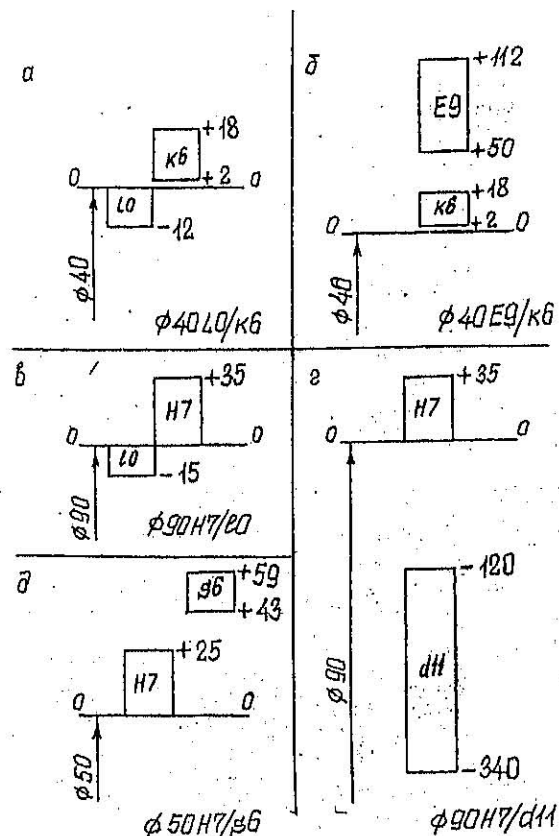


Рис. 8

Расчет интенсивности нагрузления дает:

$$P_R = \frac{4200}{23} \cdot 1,8 \cdot 1,3 \cdot 1 = 525 \text{ Н/мм.}$$

По табл. 19 с учетом класса подшипника для  $P_R = 525 \text{ Н/мм}$  находим поле допуска вала  $K6$ . Строим схему полей допусков посадки  $\phi 40 lo/k6$  (рис. 8a).

3. Посадка распорной втулки на вал. Если бы распорная втулка сопрягалась с диаметром, отличным от посадочного диаметра подшипни-

ка, то следовало бы взять посадку с зазором невысокой точности, предпочтительную в системе отверстия, например  $H9/d9$ . В нашем случае распорная втулка надевается на вал, размеры которого определены посадкой подшипника качения. Чтобы обеспечить легкость сборки, необходимо выбрать посадку с зазором 20...30 мкм. Выбираем такое поле допуска отверстия, у которого основное отклонение  $E9$  больше, чем верхнее отклонение вала  $es$  на 20...30 мкм. Учитывая сказанное, выбираем поле допуска  $E9$ . Строим схему полей допусков полученной комбинированной посадки  $\phi 40 E9/k6$  (рис. 8b). Эта посадка обеспечивает гарантированный зазор  $S_{\min} = E9 - es = 32 \text{ мкм}$ .

4. Посадка крышки подшипника в корпус. Для легкости сборки крышки с корпусом рекомендуется посадка с гарантированным зазором невысокой точности. Для унифицированных в ряде отраслей крышек подшипников рекомендованы поля допусков предпочтительного применения:  $d11$  - для глухих крышек и  $d9$  - для крышек с отверстием. Для нашего случая выбираем  $d11$  и строим схему полей допусков полученной комбинированной посадки  $\phi 90 H7/d11$  (рис. 8c).

5. Посадка зубчатого колеса на вал. Посадочный размер определен заданием  $\phi 50$  мм. Предельные функциональные натяги предполагаются уже рассчитанными и указаны в варианте задания:  $N_{\max F} = 60 \text{ мкм}$ ,  $N_{\min F} = 15 \text{ мкм}$ . По табл. 4 и 6 подбираем посадку наименьшей точности, для которой удовлетворяются условия:  $N_{\min} > N_{\min F}$  и  $N_{\max} \leq N_{\max F}$ . Находим посадку  $\phi 50 H7/s6$ , для которой  $N_{\max} = 59 \text{ мкм}$ ,  $N_{\min} = 18 \text{ мкм}$ .

Схема полей допусков посадки приведена на рис. 8d. В действительности указанная посадка не обеспечит эффективного натяга  $N_{\min} = 18 \text{ мкм}$  вследствие смятия неровностей шероховатости поверхностей отверстия и вала. Наиболее распространенной рекомендацией по оценкам деформаций является зависимость  $\Delta_w = 2,4 R_z$ , предполагающая одинаковую шероховатость поверхности отверстия и вала. В нашем случае запас на деформацию равен  $\Delta = N_{\min} - N_{\min F} = 18 - 15 = 3 \text{ мкм}$ . Следовательно, допустимая высота неровностей поверхности  $R_z = 3 / 2,4 = 1,25 \text{ мкм}$ . Так как на чертежах рекомендуется приводить среднее арифметическое отклонение  $R_a$ , которое составляет примерно  $1/4 R_z$ , то рекомендуем значение  $R_a$  установить равным  $0,32 \text{ мкм}$ .

Если установить на чертеже более грубую шероховатость, например  $R_a = 0,58 \text{ мкм}$ , то наименьший функциональный натяг не будет обеспечен посадкой  $H7/s6$ .

Требования, предъявляемые к поверхностям корпуса и вала, предназначенным для посадок подшипников качения

1. Отклонения формы поверхностей корпуса и вала не должны превышать значений, равных  $IT7/4$ , - для подшипников 0 и 6 классов, а для подшипников 5 и 4 классов -  $IT7/8$ . Особенно опасны для подшипников конусообразность и овальность посадочных поверхностей. Поэтому для поверхностей указывают допуски круглости и профиля продольного сечения, а не допуск цилиндричности, который, кроме того, может вызвать затруднения при контроле. В нашем варианте допуски формы равны: для корпуса подшипника  $IT7 = IT7/4 = 35 / 4 = 9$  мкм, а для вала  $IT = IT6/4 = 16 / 4 = 4$  мкм. Пример указания допусков формы на поверхностях вала и отверстия корпуса приведен на рис. 7. Числовые значения допусков круглости и профиля продольного сечения выбирают из табл. 20 приложения.

2. Шероховатость поверхностей устанавливают в зависимости от класса точности подшипника и диаметра различной для корпуса, вала и заплечников в корпусе, на валу или распорной втулке по табл. 21 приложения. Для нашего варианта находим среднее арифметическое отклонение: поверхности корпуса - 2,5, вала - 1,25, заплечников - 2,5. Пример обозначения шероховатости показан на эскизах, рис. 8.

**5. РАСЧЕТ ИСПОЛНИТЕЛЬНЫХ РАЗМЕРОВ РАБОЧИХ КАЛИБРОВ**

Рабочие калибры предназначены для контроля действительных размеров деталей  $d_r$  по следующим условиям их годности:  $d_{min} \leq d_r \leq d_{max}$  для валов,  $D_{min} \leq D_r \leq D_{max}$  для отверстий. Калибры, имеющие номинальные размеры, равные пределам максимума материала ( $d_{max}$  - для валов,  $D_{min}$  - для отверстий) называют проходными. Калибры, имеющие номинальные размеры, равные пределам минимума материала ( $d_{min}$  - для валов,  $D_{max}$  - для отверстий), называют непроходными. Калибры для контроля отверстий называют пробками, а для валов - скобами.

Предельные отклонения калибров ограничивают размеры новых годных калибров и предельные значения износа проходных калибров от номинальных размеров калибров (ГОСТ 24853 - 81). На рис. 9 показана схема полей допусков калибров (размеров до 500 мм). В системе допусков калибров приняты следующие обозначения:  $T$  - допуск размера контролируемого изделия,  $H$  - допуск размера пробки,  $H_1$  -

допуск размера скобы,  $\bar{x}$  - среднее отклонение поля допуска проходной пробки,  $\bar{z}_1$  - среднее отклонение поля допуска проходной скобы,  $\alpha$  и  $\alpha_1$  - средние отклонения полей допусков непроходных калибров, которые часто равны нулю,  $y$  и  $y_1$  - отклонения, ограничивающие износ калибров пробок и скоб.

В задании необходимо рассчитать исполнительные размеры калибров для распорной втулки и вала (в данном случае для отверстия  $\phi 40E9$  и вала  $\phi 40k6$ ).

Замечание: если по варианту задания подшипник 5 или 4 классов точности и вали изготавливают при этом по  $IT5$ , для которого калибры-скобы не предусмотрены, то для расчета калибра следует изменить квалитет выбранного поля допуска, например, если для подшипника по расчету выбрано поле допуска вала  $m5$ , то для расчета калибра следует взять поле  $m6$ .

В табл. 22 приложения приведены допуски и размеры, определяющие поля допусков гладких калибров. Находим для пробок  $IT9 = 62$  мкм,  $\bar{x} = 11$  мкм,  $y = 0$ ,  $H = 4$  мкм, для скоб  $IT6 = 16$  мкм,  $\bar{z}_1 = 3,5$  мкм,  $\alpha_1 = 0$ ,  $H_1 = 4$  мкм,  $y_1 = 3$  мкм.

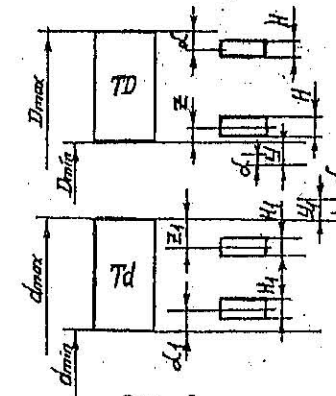


Рис.- 9

Строим схему полей допусков калибров (рис. 10).

Наибольший предельный размер проходной пробки

$$D_{min} + \bar{x} + H/2 = 40,05 + 0,011 + 0,004/2 = 40,068 \text{ мм.}$$

Наибольший предельный размер непроходной пробки

$$D_{max} + H/2 = 40,112 + 0,004/2 = 40,114 \text{ мм.}$$

Наименьший предельный размер проходной скобы

$$d_{\max} - H_1/2 = 40,018 - 0,0035 - 0,004/2 = 40,0125 \text{ мм.}$$

Наи меньший предельный размер непроходной скобы

$$d_{\min} - H_1/2 = 40,002 - 0,004/2 = 40,000 \text{ мм.}$$

### ПРИЛОЖЕНИЕ

Таблица I

Нормальные линейные размеры

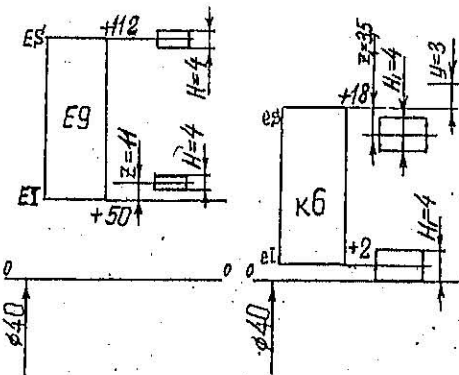


Рис. I0

На рабочих чертежах калибров принято указывать одно отклонение, равное допуску, в тело калибра:

пробок от наибольшего предельного размера калибра;  
скоб от наименьшего предельного размера калибра.

Для рассматриваемого примера получим:

для пробок  $\phi 40,063^{-0,004}$  и  $\phi 40,114^{-0,004}$   
для скоб  $40,0125^{+0,004}$  и  $40^{+0,004}$ .

Пример указания исполнительных размеров на чертеже приведен на рис. II.

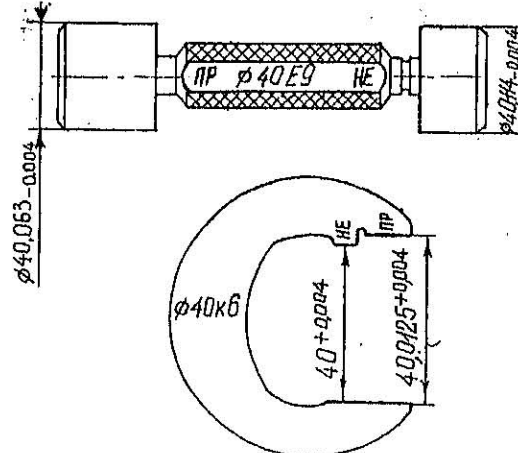


Рис. II

$R_a 5$	$R_a 10$	$R_a 20$	$R_a 40$
I,0	I,0	I,0	I,0 I,05
		I,1	I,1 I,15
	I,2	I,2	I,2 I,3
		I,4	I,4 I,5
I,6	I,6	I,6	I,6 I,7
		I,8	I,8 I,9
	2,0	2,0	2,0 2,1
		2,2	2,2 2,4
2,5	2,5	2,5	2,5 2,6
		2,8	2,8 3,0
	3,2	3,2	3,2 3,4
		3,6	3,6 3,8
4,0	4,0	4,0	4,0 4,2
		4,5	4,5 4,6
	5,0	5,0	5,0 5,2
		5,3	5,3 5,6
6,3	6,3	6,2	6,2 6,4
		7,1	7,1 7,3
	8,0	8,0	8,0 8,2
		9,0	9,0 9,2
10	10	10	10 10

Таблица 3  
Значения единицы допуска  $t$

Интервал размеров, мм		Единица допуска, мкм
	До 3	0,65
Св.	3 до 6	0,73
"	6 "	0,9
"	10 "	1,08
"	18 "	1,31
"	30 "	1,56
"	50 "	1,88
"	80 "	2,17
"	120 "	2,52
"	180 "	2,9
"	250 "	3,23
"	315 "	3,54
"	400 "	3,89

Таблица 4  
Значения коэффициента  $k$

Квалитет	Число единиц допуска
2	2,7
3	3,7
4	5
5	7
6	10
7	16
8	25
9	40
10	64
11	100
12	130
13	250
14	400
15	640
16	1000
17	1600
18	2500

Таблица 4

Числовые значения допусков для размеров до 500 мм

Интервалы номинальных размеров, мм	Квалитеты																			
	01	0	I	II	III	IV	V	VI	VII	VIII	IX	X	XI	XII	XIII	XIV	XV	XVI	XVII	XVIII
	мм										ми									
до 3	0,3	0,5	0,8	I,2	2	3	4	6	10	I4	25	40	60	100	0,14	0,25	0,4	0,6	I	I,6
Св. 3 до 6	0,4	0,6	I	I,5	2,5	4	5	8	I2	I8	30	48	75	120	0,18	0,3	0,48	0,75	I,2	I,8
" 6 " 10	0,4	0,6	I	I,5	2,5	4	6	9	I5	22	36	58	90	150	0,22	0,36	0,58	0,9	I,5	2,2
" 10 " 16	0,5	0,8	I	2	3	5	8	II	I8	27	43	70	II10	180	0,27	0,43	0,7	I,1	I,8	2,7
" 16 " 30	0,6	I	I,5	2,5	4	6	9	I3	21	33	52	84	I30	210	0,33	0,52	0,84	I,3	2,1	3,3
" 30 " 50	0,6	I	I,5	2,5	4	7	II	I6	25	39	62	I00	I60	250	0,39	0,62	I	I,6	2,5	3,9
" 50 " 80	0,8	I,2	2,5	3	5	8	I3	I9	30	46	-74	120	190	300	0,46	0,74	I,2	I,9	2	4,6
" 80 " 120	I	I,5	2,5	4	6	10	I5	22	35	54	87	I40	220	350	0,54	0,87	I,4	2,2	3,5	5,4
" 120 " 180	I,2	2	3,5	5	8	I2	I8	25	40	63	I00	I60	250	400	0,63	I	I,6	2,5	4	6,3
" 180 " 250	2	3	4,5	7	I0	I4	20	29	46	72	II15	I85	290	460	0,72	I,15	I,85	2,3	4,6	7,2
" 250 " 315	2,5	4	6	8	I2	I6	23	32	52	81	I30	210	320	520	0,81	I,3	2,1	3,2	5,2	8,1
" 315 " 400	3	5	7	9	I3	I8	25	36	57	89	I40	230	360	570	0,89	I,4	2,3	3,6	5,7	8,9
" 400 " 500	4	6	8	10	I5	20	27	40	63	97	I55	250	400	630	0,97	I,55	2,5	4	6,3	9,7

Примечание: для размеров до I квалитеты I4...I6 не применяются

Таблица 5

## Основные отклонения размеров

Интервалы 名义尺寸的 размеров, мм	Основные отклонения										
	A	B	C	CD	D	E	EF	F	FG	G	H
a	b	c	cd	d	e	ef	f	fg	g	h	
Абсолютные значения основных отклонений, мм											
Св. I до 3	270	140	60	34	20	14	10	3	4	2	0
" 5 " 6	240	140	70	46	50	20	14	10	3	4	0
" 3 " 10	230	150	80	56	40	25	18	13	8	5	0
" 10 " 14	290	160	95	-	50	32	-	13	-	6	0
" 14 " 18											
" 18 " 24	300	180	110	-	65	40	-	20	-	7	0
" 24 " 30											
" 30 " 40	310	170	120								
" 40 " 50	320	180	130	-	80	50	-	25	-	9	0
" 50 " 65	340	190	140								
" 65 " 80	360	200	150	-	100	60	-	30	-	10	0
" 80 " 100	380	220	170								
" 100 " 120	410	240	180	-	120	72	-	36	-	12	0
" 120 " 140	460	260	200								
" 140 " 160	520	280	210	-	145	85	-	43	-	14	0
" 160 " 180	580	310	230								
" 180 " 200	660	340	240								
" 200 " 225	740	380	260	-	170	100	-	50	-	13	0
" 225 " 250	820	420	280								
" 250 " 280	920	480	300	-	190	110	-	56	-	17	0
" 280 " 315	1050	540	330								
" 315 " 350	1200	600	360	-	210	155	-	62	-	19	0
" 350 " 400	1330	680	400								
" 400 " 450	1500	780	440	-	280	185	-	68	-	20	0
" 450 " 500	1650	840	490								

Таблица 6

## Основные отклонения размеров

Интервалы полиномиальных размеров, мм	Основные отклонения											
	<i>P</i>	<i>r</i>	<i>s</i>	<i>t</i>	<i>u</i>	<i>v</i>	<i>x</i>	<i>y</i>	<i>z</i>	<i>za</i>	<i>zb</i>	<i>zc</i>
	<i>P</i>	<i>R</i>	<i>S</i>	<i>T</i>	<i>U</i>	<i>V</i>	<i>X</i>	<i>Y</i>	<i>Z</i>	<i>ZA</i>	<i>zb</i>	<i>zc</i>
Абсолютные значения основных отклонений, мм												
Ср. I до 3	6	10	14	-	18	-	20	-	25	32	40	60
" 3 " 6	12	15	19	-	23	-	26	-	35	42	50	80
" 6 " 10	15	19	23	-	28	-	34	-	42	52	67	97
" 10 " 14	18	22	23	-	33	-	40	-	50	64	90	130
" 14 " 18							39	45	-	60	77	106
" 18 " 24	22	28	35	-	41	47	54	63	73	98	135	168
" 24 " 30					41	48	55	64	75	88	118	160
" 30 " 40	26	34	43	48	60	68	80	94	112	148	200	274
" 40 " 50					54	70	81	97	114	136	180	242
" 50 " 65	32	41	53	66	87	102	122	144	172	226	300	405
" 65 " 80		43	59	75	102	120	146	174	210	274	360	480
" 80 " 100	37	51	71	91	124	146	178	214	258	335	445	585
" 100 " 120		54	79	104	144	172	210	254	310	400	525	690
" 120 " 140	48	63	92	122	170	202	248	300	365	470	620	800
" 140 " 160		65	100	134	190	228	280	340	415	535	700	900
" 160 " 180	68	108	146	210	252	310	380	465	600	780	1000	

Интервалы номинальных размеров, мм	Основные отклонения											
	<i>P</i>	<i>r</i>	<i>s</i>	<i>t</i>	<i>u</i>	<i>v</i>	<i>x</i>	<i>y</i>	<i>z</i>	<i>za</i>	<i>zb</i>	<i>zc</i>
<i>P</i>	<i>R</i>	<i>S</i>	<i>T</i>	<i>U</i>	<i>V</i>	<i>X</i>	<i>Y</i>	<i>Z</i>	<i>ZA</i>	<i>ZB</i>	<i>ZC</i>	
Абсолютные значения основных отклонений, мкм												
Св. 180 до 200		77	122	166	236	284	350	425	520	670	880	1150
" 200 " 225	50	80	130	180	258	310	385	470	575	740	960	1250
" 225 " 250		84	140	196	284	340	425	520	640	820	1050	1350
" 250 " 280	56	94	158	218	315	385	475	580	710	920	1200	1550
" 280 " 315		98	170	240	350	425	525	650	790	1000	1300	1700
" 315 " 350	62	108	190	268	390	475	590	730	900	1150	1500	1900
" 350 " 400		114	208	294	435	530	660	820	1000	1300	1650	2100
" 400 " 450	68	126	232	330	490	595	740	920	1100	1450	1850	2400
" 450 " 500		132	252	360	540	660	820	1000	1250	1600	2100	2600

Таблица 7

## Основные отклонения размеров

Интервалы номинальных размеров, мм	Нижние отклонения валов, мкм				Верхние отклонения отверстий, мкм			
	<i>js</i>	<i>k</i>	<i>m</i>	<i>n</i>	<i>js</i>	<i>k</i>	<i>m</i>	<i>n</i>
	Квалитеты							
Для всех квалитетов	4 ... 7		Для всех квалитетов		Для всех квалитетов	до 8		
Св. 1 до 3	$\frac{IT}{2}$ Пределевые отклонения равны $\pm \frac{IT}{2}$	0	+2	+4	$\frac{IT}{2}$ Пределевые отклонения равны $\pm \frac{IT}{2}$	0	-2	-4
" 3 " 6		+1	+4	+8		-I +Δ	-4 +Δ	-8 +Δ
" 6 " 10		+1	+6	+10		-I +Δ	-6 +Δ	-10 +Δ
" 10 " 18		+1	+7	+12		-I +Δ	-7 +Δ	-12 +Δ
" 18 " 30		+2	+8	+15		-2 +Δ	-8 +Δ	-15 +Δ
" 30 " 50		+2	+9	+17		-2 +Δ	-9 +Δ	-17 +Δ
" 50 " 80		+2	+11	+20		-2 +Δ	-11 +Δ	-20 +Δ
" 80 " 120		+3	+13	+23		-3 +Δ	-13 +Δ	-23 +Δ
" 120 " 180		+3	+15	+27		-3 +Δ	-15 +Δ	-27 +Δ
" 180 " 250		+4	+17	+31		-4 +Δ	-17 +Δ	-31 +Δ
" 250 " 315		+4	+20	+34		-4 +Δ	-20 +Δ	-34 +Δ
" 315 " 400		+4	+21	+37		-4 +Δ	-21 +Δ	-37 +Δ
" 400 " 500		+5	+23	+40		-5 +Δ	-23 +Δ	-40 +Δ

Таблица 8

Значения поправки  $\Delta$ , мкм

Диаметры, мм	Квалитеты				
	4	5	6	7	8
Св. I до 3	0	0	0	0	0
" 3 " 6	1,5	2	3	4	6
" 6 " 10	1,5	2	3	6	7
" 10 " 18	2	3	3	7	9
" 18 " 30	2	3	4	8	12
" 30 " 50	3	4	5	9	14
" 50 " 80	3	5	6	11	16
" 80 " 120	4	5	7	13	19
" 120 " 180	4	6	7	15	23
" 180 " 250	4	6	9	17	26
" 250 " 315	4	7	9	20	29
" 315 " 400	5	7	11	21	32
" 400 " 500	5	7	13	23	34

Таблица 9

## Рекомендуемые и предпочтительные поля допусков валов

Квалитет	Основные отклонения																			
	a	b	c	d	e	f	g	h	js	k	m	n	p	r	s	t	u	v	x	y
4							g4	h4	js4	k4	m4	n4								
5							g5	h5	js5	k5	m5	n5	p5	r5	s5					
6						f6	g6	h6	js6	k6	m6	n6	p6	r6	s6	t6				
7					e7	f7		h7	js7	k7	m7	n7			s7		u7			
8		c8	d8	e8	f8		h8	js8									u8	x8	z8	
9			d9	e9	f9		h9	js9												
10			d10				h10	js10												
II	a11	b11	c11	d11			h11	js11												
12		b12					h12	js12												

Таблица I0

Рекомендуемые и предпочтительные поля допусков отверстий

Ква- лифика-	Основные отклонения																			
	A	B	C	D	E	F	G	H	JS	K	M	N	P	R	S	T	U	V	X	Y
5							G5	H5	JS5	K5	M5	N5								
6							G6	H6	JS6	K6	M6	N6	P6							
7						F7	G7	H7	JS7	K7	M7	N7	P7	R7	S7	T7				
8				D8	E8	F8		H8	JS8	K8	M8	N8							U8	
9				D9	E9	F9		H9	JS9											
10				D10				H10	JS10											
II	A11	B11	C11	D11				H11	JS11											
12		B12						H12	JS12											

Примечание:  - предпочтительные поля допусков

Таблица II

Рекомендуемые и предпочтительные посадки в системе отверстия

Оси шарнир- ные	Основные отклонения валов																			
	a	b	c	d	e	f	g	h	js	k	m	n	p	r	s	t	u	v	x	z
	Посадки																			
H5								H5 g4	H5 h4	H5 js4	H5 k4	H5 m4	H5 n4							
H6						H6 f6	H6 g5	H6 h5	H6 js5	H6 k5	H6 m5	H6 n5	H6 p5	H6 r5	H6 s5					
H7			H7 c8	H7 d8	H7 e7	H7 e8	H7 f7	H7 g6	H7 h6	H7 js6	H7 k8	H7 m6	H7 n6	H7 p6	H7 r6	H7 s6	H7 s7	H7 t6	H7 u7	
H8			H8 c8	H8 d8	H8 e8		H8 f7	H8 f8		H8 h7	H8 h8	H8 js7	H8 k7	H8 m7	H8 n7		H8 s7	H8 u6	H8 x8	H8 z8
				H8 d9		H8 e8		H8 f9		H8 h9										
H9					H9 e8	H9 e9	H9 f8	H9 f9		H9 h8	H9 h9									
H10						H10 d10				H10 h9	H10 h10									
H11	H11 α11	H11 β11	H11 γ11	H11 δ11						H11 h11										
H12		H12 δ12								H12 h12										

Примечание:  - предпочтительные посадки

Таблица 12

Рекомендуемые и предпочтительные посадки в системе вала

Основ- ной вал	Основные отклонения отверстий																
	A	B	C	D	E	F	G	H	JS	K	M	N	P	R	S	T	U
$h_4$							$G_5$ $h_4$	$H_5$ $h_4$	$JS_5$ $h_4$	$K_5$ $h_4$	$M_5$ $h_4$	$N_5$ $h_4$					
$h_5$						$F_7$ $h_5$	$G_6$ $h_5$	$H_6$ $h_5$	$JS_6$ $h_5$	$K_6$ $h_5$	$M_6$ $h_5$	$N_6$ $h_5$	$P_6$ $h_5$				
$h_6$				$D_8$ $h_6$	$E_8$ $h_6$	$F_7$ $h_6$	$F_8$ $h_6$	$G_7$ $h_6$	$H_7$ $h_6$	$JS_7$ $h_6$	$K_7$ $h_6$	$M_7$ $h_6$	$N_7$ $h_6$	$P_7$ $h_6$	$R_7$ $h_6$	$S_7$ $h_6$	$7$ $h_6$
$h_7$				$D_8$ $h_7$	$E_8$ $h_7$	$F_8$ $h_7$			$H_8$ $h_7$	$JS_8$ $h_7$	$K_8$ $h_7$	$M_8$ $h_7$	$N_8$ $h_7$				$U_8$ $h_7$
$h_8$				$D_8$ $h_8$	$D_9$ $h_8$	$E_8$ $h_8$	$E_9$ $h_8$	$F_8$ $h_8$	$F_9$ $h_8$	$H_8$ $h_8$	$H_9$ $h_8$						
$h_9$					$D_9$ $h_9$	$D_{10}$ $h_9$	$E_9$ $h_9$	$F_9$ $h_9$		$H_8$ $h_9$	$H_9$ $h_9$						
$h_{10}$						$D_{10}$ $h_{10}$				$H_{10}$ $h_{10}$							
$h_{11}$	$A_{11}$ $h_{11}$	$B_{11}$ $h_{11}$	$C_{11}$ $h_{11}$	$D_{11}$ $h_{11}$					$H_{11}$ $h_{11}$								
$h_{12}$		$B_{12}$ $h_{12}$							$H_{12}$ $h_{12}$								

Примечание:  - предпочтительные посадки

Таблица I3

$$\text{Значение } \Phi_0(z) = \frac{1}{\sqrt{2\pi}} \int_0^z e^{-\frac{z^2}{2}} dz$$

$z$	$\Phi_0$	$z$	$\Phi_0$	$z$	$\Phi_0$	$z$	$\Phi_0$
0,00	0,0000	0,70	0,2580	1,40	0,4192	2,25	0,4878
0,02	0,0080	0,72	0,2642	1,42	0,4222	2,30	0,4893
0,04	0,0160	0,74	0,2703	1,44	0,4251	2,35	0,4906
0,06	0,0239	0,76	0,2764	1,46	0,4279	2,40	0,4918
0,08	0,0319	0,78	0,2823	1,48	0,4306	2,45	0,4929
0,10	0,0398	0,80	0,2881	1,50	0,4332	2,50	0,4938
0,12	0,0478	0,82	0,2939	1,52	0,4357	2,55	0,4946
0,14	0,0557	0,84	0,2995	1,54	0,4382	2,60	0,4953
0,16	0,0636	0,86	0,3051	1,56	0,4406	2,65	0,4960
0,18	0,0714	0,88	0,3106	1,58	0,4429	2,70	0,4965
0,20	0,0793	0,90	0,3159	1,60	0,4452	2,75	0,4970
0,22	0,0871	0,92	0,3212	1,62	0,4474	2,80	0,4974
0,24	0,0948	0,94	0,3264	1,64	0,4492	2,85	0,4978
0,26	0,1026	0,96	0,3315	1,66	0,4515	2,90	0,4981
0,28	0,1103	0,98	0,3365	1,68	0,4535	2,95	0,4984
0,30	0,1179	1,00	0,3413	1,70	0,4554	3,00	0,49865
0,32	0,1255	1,02	0,3461	1,72	0,4573	3,10	0,49903
0,34	0,1331	1,04	0,3508	1,74	0,4591	3,20	0,49931
0,36	0,1406	1,06	0,3554	1,76	0,4608	3,30	0,49952
0,38	0,1480	1,08	0,3599	1,78	0,4625	3,40	0,49966
0,40	0,1554	1,10	0,3643	1,80	0,4641	3,50	0,49977
0,42	0,1628	1,12	0,3686	1,82	0,4656	3,60	0,49984
0,44	0,1700	1,14	0,3729	1,84	0,4671	3,70	0,49989
0,46	0,1772	1,16	0,3770	1,86	0,4686	3,80	0,499928
0,48	0,1844	1,18	0,3810	1,88	0,4699	3,90	0,499952
0,50	0,1915	1,20	0,3849	1,90	0,4713	4,00	0,499968
0,52	0,1985	1,22	0,3888	1,92	0,4726	4,50	0,499997
0,54	0,2054	1,24	0,3925	1,94	0,4738	5,00	0,499999
0,56	0,2123	1,26	0,3962	1,96	0,4750		
0,58	0,2190	1,28	0,3997	1,98	0,4761		
0,60	0,2257	1,30	0,4032	2,00	0,4772		
0,62	0,2324	1,32	0,4066	2,05	0,4798		
0,64	0,2389	1,34	0,4099	2,10	0,4821		
0,66	0,2454	1,36	0,4131	2,18	0,4842		
0,68	0,2517	1,38	0,4162	2,20	0,4861		

Таблица 14

Нижние предельные отклонения размеров  
колец подшипников  
(верхние предельные отклонения всех колец равны 0)

Номинальные диаметры, мм	Подшипники шариковые и роликовые радиальные и шариковые радиально-упорные		Подшипники роликовые конические					
	Классы точности							
	4	5	6	0	4	5	6	0
Кольца внутренние	Св. 2,5 до 10	- 4	- 5	- 7	- 8	-	-	-
	10 " 18	- 4	- 5	- 7	- 8	- 5	- 7	- 8
	18 " 30	- 5	- 6	- 8	- 10	- 6	- 8	- 10
	30 " 50	- 6	- 8	- 10	- 12	- 8	- 10	- 12
	50 " 80	- 7	- 9	- 12	- 15	- 9	- 12	- 15
	80 " 120	- 8	- 10	- 15	- 20	- 10	- 15	- 20
	120 " 180	- 10	- 13	- 18	- 25	- 13	- 18	- 25
	180 " 250	- 12	- 15	- 22	- 30	- 15	- 22	- 30
	250 " 315	-	- 18	- 25	- 35	-	- 25	- 35
	315 " 400	-	- 23	- 30	- 40	-	- 30	- 40
Кольца наружные	400 " 500	-	-	- 35	- 45	-	-	-
	Св. 6 " 18	- 4	- 5	- 7	- 8	-	-	-
	18 " 30	- 5	- 6	- 8	- 9	- 6	- 8	- 9
	30 " 50	- 6	- 7	- 9	- 11	- 7	- 9	- 11
	50 " 80	- 7	- 9	- 11	- 13	- 9	- 11	- 13
	80 " 120	- 8	- 10	- 13	- 15	- 10	- 13	- 15
	120 " 150	- 9	- 11	- 15	- 18	- 11	- 15	- 18
	150 " 180	- 10	- 13	- 18	- 25	- 13	- 18	- 25
	180 " 250	- 11	- 15	- 20	- 30	- 15	- 20	- 30
	250 " 315	- 13	- 18	- 25	- 35	- 18	- 25	- 35
	315 " 400	- 15	- 20	- 28	- 40	- 20	- 28	- 40
	400 " 500	-	- 23	- 33	- 45	-	- 33	- 45

Таблица 15

Поля допусков валов и отверстий в корпусах, сопрягаемых с кольцами подшипников при местном нагружении

Размеры посадочных диаметров, мм	Поля допусков		Типы подшипников
	валов (осей)	отверстий в корпусах стальных или чугунных	
Свыше	До	нерастворимых	разъемных
Нагрузка спокойная или с умеренными толчками и вибрацией, перегрузка до 150 %			
-	80	$h_5, h_6$	$H_6, H_7$
80	260	$g_5, g_6, f_7^*$	$G_6, G_7$
260	500	$f_6, f_7$	$H_6, H_7, H_8^*$
500	I600		$F_7, F_8$
Нагрузка с ударами и вибрацией, перегрузка до 300 %			
-	80	$h_5, h_6$	$J_56, J_57$
80	260		$J_36, J_37$
260	500	$g_5, g_6$	$H_6, H_7$
500	I600		
-	120	$h_5, h_6$	$H_6, H_7$
120	I600	$g_5, g_6$	$J_56, J_57$

## Примечания:

1. Поля допусков, отмеченные \*, применять при частоте вращения не более  $0,6 \pi_{\text{пп}}$ , где  $\pi_{\text{пп}}$  - предельно допустимая частота вращения подшипника.

2. Поля допусков, заключенные в прямоугольные рамки, использовать для подшипников классов точности 5 и 4, остальные поля допусков - для подшипников классов точности 0 и 6.

Таблица I6

Значение коэффициента  $K_1$ 

Характер нагрузки	$K_1$
Нагрузка с умеренными толчками и вибрацией, перегрузка до 150 %	1,0
Нагрузка с сильными ударами и вибрацией, перегрузка до 300 %	1,8

Таблица I7

Значение коэффициента  $K_2$ 

$d_1/d$ или $D/D_1$	Для валов			Для корпуса Для всех подшипников	
	$D/d$				
	$\leq 1,5$	$1,5 \dots 2,0$	$2 \dots 3$		
- до 0,4	1,0	1,0	1,0	1,0	
Св. 0,4 до 0,7	1,2	1,4	1,6	1,0	
" 0,7 " 0,8	1,5	1,7	2,0	1,4	
" 0,8 -	2,0	2,3	3,0	1,8	

$d$  и  $D$  - соответственно диаметры отверстия и наружной поверхности подшипника;

$d_1$  - диаметр отверстия полого вала;

$D_1$  - диаметр наружной поверхности тонкостенного корпуса.

Таблица I8

Значение коэффициента  $K_3$ 

$F_\alpha / F_r \cdot \operatorname{ctg} \beta$	$K_3$
- До 0,2	1,0
Св. 0,2 до 0,4	1,2
" 0,4 до 0,6	1,4
" 0,6 " 1,0	1,6
" 1,0 -	2,0

Таблица I9

Поля допусков валов и отверстий в корпусах, сопрягаемых с кольцами подшипников при циркуляционном нагружении

Диаметр $d$ отверстия внутреннего кольца подшипника, мм	Допускаемые значения $P_{Fr}$ , Н/мм							
	При посадке на вал внутреннего кольца подшипника класса точности							
Свыше До	$js\ 6$	$js\ 5$	$k\ 6$	$k\ 5$	$m\ 6$	$m\ 5$	$n\ 6$	$n\ 5$
18 80	до 300	300 - 1400	1400 - 1600	1600 - 3000				
80 180	до 600	600 - 2000	2000 - 2500	2500 - 4000				
180 360	до 700	700 - 3000	3000 - 3500	3500 - 6000				
360 630	до 900	900 - 3500	3500 - 4500	4500 - 8000				
Диаметр $D$ наружной поверхности наружного кольца подшипника, мм	При посадке в корпус наружного кольца подшипника класса точности							
0 и 6	5 и 4	0 и 6	5 и 4	0 и 6	5 и 4	0 и 6	5 и 4	
Свыше До	$K\ 7$	$K\ 6$	$M\ 7$	$M\ 6$	$N\ 7$	$N\ 6$	$P\ 7$	$P\ 6$
50 180	до 800	800 - 1000	1000 - 1300	1300 - 2500				
180 360	до 1000	1000 - 1500	1500 - 2000	2000 - 3300				
360 630	до 1200	1200 - 2000	2000 - 2600	2600 - 4000				
630 1600	до 1600	1600 - 2500	2500 - 3500	3500 - 5500				

Таблица 20

Ряд числовых значений допусков круглости и профиля  
продольного сечения, мкм (по СТ СЭВ 636-77)

0,1	0,12	0,16	0,20	0,25	0,30	0,40	0,50	0,60	0,80
I	I,2	I,6	2,0	2,5	3	4	5	6	8
10	12	16	20	25	30	40	50	60	80
100	I20	I60	200	250	300	400	500	600	800
1000	I200	I600	2000	2500	3000	4000	5000	6000	8000
10000	I2000	I6000	-	-	-	-	-	-	-

Таблица 21

Шероховатость посадочных поверхностей  
валов и корпусов

Посадочные поверхности	Классы точности подшипников	Номинальные диаметры, мм	
		До 80	Св. 80 до 500
Наибольшие допускаемые значения $R_a$ , мкм			
Валов	0	1,25	2,5
	6 и 5	0,63	1,25
	4	0,32	0,63
Отверстий корпусов	0	1,25	2,5
	6, 5 и 4	0,63	1,25
Торцов заплечиков валов и корпусов	0	2,5	2,5
	6, 5 и 4	1,25	2,5

Таблица 22

Допуски и размеры, координирующие  
расположение полей допусков гладких калибров, мкм

Квали- теты изде- лий	Обоз- наче- ния	Интервалы размеров, мкм								Допуск формы кали- бра
		свыше 6 до 10	свыше 10 до 18	свыше 18 до 30	свыше 30 до 50	свыше 50 до 80	свыше 80 до 120	свыше 120 до 180		
IT6	$\bar{z}$ $y$ $\bar{z}_1$ $y_1$ $H$ $H_1$	1,5 I 2 I,5 I,5 2,5	2 I,5 2,5 2 2,5 3	2,5 2 3,5 3 2,5 4	2,5 2 4 3 3 5	3 3 4 4 5 6	4 3 6 4 5 8		IT1 IT2	
IT7	$\bar{z}, \bar{z}_1$ $y, y_1$ $H, H_1$	2 1,5 2,5	2,5 2 3	3 3 4	3,5 3 4	4 3 5	5 4 6	6 4 8	IT2	
IT8	$\bar{z}, \bar{z}_1$ $y, y_1$ $H$ $H_1$	3 3 2,5 4	4 4 3 5	5 5 4 6	6 5 4 7	7 5 6 8	8 6 6 10	9 6 8 12	IT2 IT3	
IT9	$\bar{z}, \bar{z}_1$ $y, y_1$ $H$ $H_1$	7 0 2,5 4	8 0 4 5	9 0 4 6	II 0 4 7	13 0 5 8	15 0 6 10	18 0 8 12	IT2 IT3	
IT10	$\bar{z}, \bar{z}_1$ $y, y_1$ $H$ $H_1$	7 0 2,5 4	8 0 4 5	9 0 4 6	II 0 4 7	13 0 5 8	15 0 6 10	18 0 8 12	IT2 IT3	
IT11	$\bar{z}, \bar{z}_1$ $y, y_1$ $H$ $H_1$	14 0 6	16 0 8	19 0 9	22 0 11	25 0 13	28 0 15	32 0 18	IT4	
IT12	$\bar{z}, \bar{z}_1$ $y, y_1$ $H$ $H_1$	14 0 6	16 0 8	19 0 9	22 0 11	25 0 13	28 0 15	32 0 18	IT4	

## Список литературы

1. Яхупев А.И., Борисов Л.Н., Седотов Н.И. Взаимозаменяемость, стандартизация и технические измерения. - М.: Машиностроение, 1987. - 252 с.
2. Слоброва Н.Н., Берельман Е.И., Шегал М.Я. Пособие и решения задач по курсу ВСТИ. - М.: Высшая школа, 1977. - 204 с.
3. Яхупев А.И., Бешелукова Е.Ю., Платалов В.Н. Допуски и посадки ЕСДП СЭВ для гладких цилиндрических деталей. Расчет и выбор. - М.: Издательство стандартов, 1978. - 204 с.
4. Нарышкин В.Н., Коросташевский Р.В. Подшипники качения. Справочник-каталог. - М.: Машиностроение, 1984. - 278 с.
5. Справочник контролера машиностроительного завода / Под ред. Яхупева А.И. - М.: Машиностроение, 1980. - 527 с.  
Стандарты:
  6. ГОСТ 25346-82. Единая система допусков и посадок СЭВ. Общие положения, ряды допусков и основных отклонений. - М.: Издательство стандартов, 1982. - 29 с.
  7. ГОСТ 25347-82. Единая система допусков и посадок СЭВ. Поля допусков и рекомендуемые посадки. - М.: Издательство стандартов, 1982. - 51 с.
  8. СТ СЭВ 157-75. Калибры гладкие для размеров до 500 мм. Допуски. - М.: Издательство стандартов, 1977. - 11 с.
  9. СТ СЭВ 301-76. Основные нормы взаимозаменяемости. Допуски формы и расположения поверхностей. Основные термины и определения. - М.: Издательство стандартов, 1977. - 112 с.
  10. СТ СЭВ 368-76. Единая система конструкторской документации СЭВ. Допуски формы и расположения поверхностей. Указание на чертежах. - М.: Издательство стандартов, 1977. - 19 с.
  - II. СТ СЭВ 638-77. Основные нормы взаимозаменяемости. Шероховатость поверхности. Основные параметры и числовые значения. - М.: Издательство стандартов, 1978. - 24 с.

## ОГЛАВЛЕНИЕ

Предисловие.....	3
I. Методика определения предельных отклонений и построения полей допусков размеров .....	3
2. Посадки и расчет их числовых характеристик .....	9
3. Рекомендации по применению посадок ИСО .....	15
4. Посадки подшипников качения и методика их выбора .....	17
5. Расчет исполнительных размеров рабочих калибров .....	24
Список литературы.....	27
Приложение .....	46

13-91

Редакция заказной литературы

Нина Николаевна Зябрева

Людмила Александровна Лобанова

Виктор Никифорович Плуталов

Методические указания  
к выполнению расчетно-графических работ по МВС

Заведующая редакцией Н.Г.Ковалевская

Редактор С.А.Филиппова

Корректор Л.И.Малютина

Подписано в печать 06.03.97.Формат 60x84/16. Бумага тип. № 2.

Печ.л. 3,0. Усл.печ.л. 2,79.Уч.-изд.л. 2,61.Тираж 1000 экз.

Изд. № 112. Заказ//% С 38

Издательство МГТУ им.Н.Э.Баумана,  
типография МГТУ им.Н.Э.Баумана.  
105005, Москва, 2-я Бауманская, 5.